

تأثير التشويب بالفنايديوم على المعلمات التركيبية وبعض الخواص البصرية لأغشية أوكسيد الخارصين المحضرة بالتحلل الكيميائي الحراري

نادر فاضل حبوبى

الجامعة المستنصرية-كلية التربية-قسم الفيزياء

صباح أنور سلمان

كاظم مصطفى كاظم

جامعة ديالى-كلية العلوم-قسم الفيزياء

الخلاصة

تم في هذا البحث دراسة تأثير التشويب بالفنايديوم (V) وبنسب مختلفة (1,3,5,7%) على المعلمات التركيبية وبعض الخواص البصرية لـ(النفاذية ، والامتصاصية) لأغشية أوكسيد الخارصين (ZnO) المحضرة بالتحلل الكيميائي الحراري والمرسبة على قواعد ساخنة من الزجاج بدرجة حرارة (450 °C) ، وبينت الدراسة أن إضافة الفنايديوم تؤدي إلى تغير في قيم النفاذية والامتصاصية، وكذلك تغير في قيم المعلمات التركيبية لأغشية أوكسيد الخارصين.

المقدمة

نالت أكسيد التوصيل الشفافة (TCOs) قدرًا كبيراً من اهتمام الباحثين لما تملكه هذه المواد من صفات فريدة ميزتها عن غيرها من المواد ، إذ إن أغشية هذه الأكسيد تمتلك نفاذية بصرية عالية في المنطقة المرئية وانعكاسية عالية في المنطقة تحت الحمراء ولها توصيلية كهربائية من النوع السالب (n-type) ، إذ تعد أكسيد التوصيل الشفافة أشباه موصلات مركبة مكونة من معدن متعدد مع الأوكسجين أي إنها أشباه موصلات أوكسیدية مثل (ZnO,CdO,SnO_2,In_2O_3) وهي تمتلك فجوة طاقة بصرية واسعة [1].

يعتبر أوكسيد الخارصين مادة شبه موصلة من مجموعة (TCOs) وتتركيبة البلوري من النوع السادس المترافق وهو مشابه للتركيب البلوري للمجموعة (الثانية - السادسة) (II-VI)

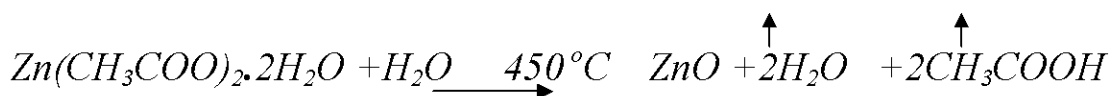
لأشبه الموصلات ، اذ يمتاز الغشاء الرقيق المحضر من مركب أوكسيد الخارصين بامتلاكه فجوة طاقة مباشرة تتراوح بين eV (3.4-2.8) وامتلاكه لطاقة ربط (الكترون- فجوة) اكسيدون كبيرة بحدود (60 meV) في درجة حرارة الغرفة ذو استقرار كيميائي عال [2] ، و يعد أوكسيد الخارصين المشوب بشوائب منتخبة اختياراً بديلاً عن أوكسيد الانديوم المشوب بالقصدير (Indium Tin Oxide-ITO) نتيجة لكلفته الواطئة مقارنةً بالأخر ، الذي يستخدم في صناعة شاشات العرض المسطحة (LCD) [3] ، كما إن لاوكسيد الخارصين العديد من التطبيقات الأخرى في مختلف المجالات مثل الدايمودات الباعثة للضوء ، ودايمود الليزر ، والمقاومات المتغيرة ، وأغشية موصلة شفافة تستخدم في الخلايا الشمسية [4].

وقد اظهر الباحث (Phillips) وجماعته ، أن تقنية تشويب (ZnO) تجعل منه اووكسيدة موصل شفافاً (TCO) وبمواصفات فريدة ، فالفنادية تصبح مشابهة لتلك الموجودة في شبه الموصل ($CaInO_3$) والتوصيلية تقترب من تلك الموجودة في (ITO) متعدد الاستعمالات [5].

العمل التجارى

1- تحضير الأغشية الرقيقة

تم تحضير محلول اسيتات الخارصين المائية بتركيز (0.1 M) بإذابتها في (100 ml) من الماء المقطر مع التحريك المستمر لمدة (15 min) بواسطة الخلط المغناطيسي وبوجود عامل مساعد (الحرارة) تم الحصول على محلول رائق ومتجانس ، وبعد ترذيز محلول على القواعد الزجاجية الساخنة وبفعل عملية التحلل الكيميائي الحراري تمت عملية الترسيب لغشاء (ZnO) وفقاً للمعادلة الكيميائية الآتية:



ولتحضير المادة الشائبة (الفناديوم) ، استخدمت مادة ثلاثي كلوريد الفناديوم ذات اللون الرمادي المزرق والتي صيغتها الكيميائية (VCl3) ، حيث تم تحضير محلول ثلاثي كلوريد الفناديوم بتركيز (0.1M) بعد إذابتها في (100 ml) من الماء المقطر مع التحريك المستمر لمدة (15 min) بواسطة الخلط المغناطيسي للحصول على محلول جيد التجانس ، وبعدها تم إضافة محلول ثلاثي كلوريد الفناديوم (VCl3) وبنسبة حجمية مختلفة (1,3,5,7)% إلى محلول

اسيدات الخارصين ويتم تحريك محلول جيدا بالخلط المغناطيسي لمدة (15 min) لضمان عملية التجانس الجيد ، ومن ثم تم ترذيز محلول على القواعد الزجاجية وبدرجة حرارة منتخبة (450 °C) ، وبفعل عملية التحلل الكيميائي الحراري تم ترسيب أغشية أوكسيد الخارصين المشوبة بالفناديوم ، إذ كانت الأغشية المحضره ذات تجانس جيد وشديدة الالتصاق بالقاعدة وخالية من التشققات والتقويب الابرية ذات سمك بحدود ($0.45 \pm 0.02 \mu\text{m}$) ، وكانت الظروف المثلثى لتحضير هذه الأغشية تتلخص بما يلى [درجة حرارة القاعدة (450 °C)، معدل الترسيب ($10 \text{ cm}^3/\text{min}$) ، ضغط الهواء (10^5 N/m^2) ، المسافة العمودية بين جهاز الترسيب والقاعدة ($30 \pm 1 \text{ cm}$) ، زمن الترذيز (10 s) ، والזמן بين ترذيتين متتاليتين (2 min)]. اشتملت القياسات البصرية على قياس طيفي الامتصاصية (Absorptance) والنفاذية (Transmittance) لمدى الاطوال الموجية nm (300–900) باستخدام المطياف ذي (UV–Visible Recording Spectrophotometer) الحزمتين من نوع المجهز من قبل شركة (Shimadzu) اليابانية وقد أجريت كافة القياسات في درجة حرارة المختبر ، وان عملية فحص طبوبغرافية السطوح لتراتيكب الأغشية المحضره تمت بواسطة مجهر القوة الذرية (AFM–AAA3000) من النوع (Atomic Force Microscopy–AFM–) والمجهز من قبل شركة (Angstron Advanced Inc.) ، إذ تمت كافة الفحوصات في ظروف المختبر الاعتيادية من ضغط ودرجة حرارة ، أما عملية التعرف على طبيعة ونوع التركيب البلوري للأغشية فقد تمت بواسطة جهاز الأشعة السينية من النوع (Philips PW 180 CuKα).

النتائج والمناقشة

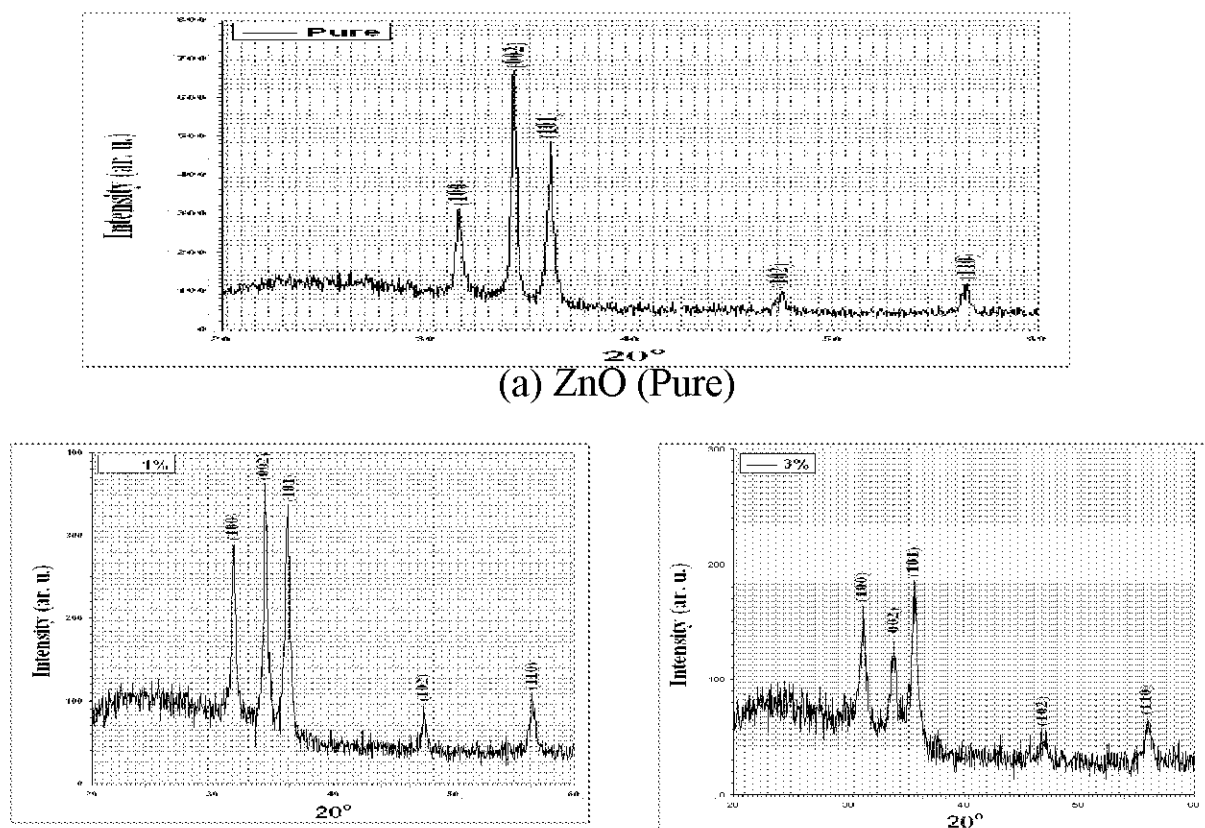
1- نتائج الفحوصات التربوية

◀ نتائج فحص (XRD)

بيانت نتائج الفحص بالأشعة السينية وبعد المقارنة مع البطاقة الدولية لمادة اوكسيد ICDD 36-(International Center for Diffraction Data) (ZnO) ، أن كافة أغشية أوكسيد الخارصين المحضره (النقيه والمشوبه بالفناديوم) تمتلك تركيبا متعدد التبلور من النوع السداسي المحكم، مع نمو متميز في الاتجاهية(002) ولكلفة الأغشية عدا الأغشية المشوبهة بنسبة التشويب(3%) كان الاتجاه السائد للتبلور هو(101)، ويفسر هذا الاختلاف

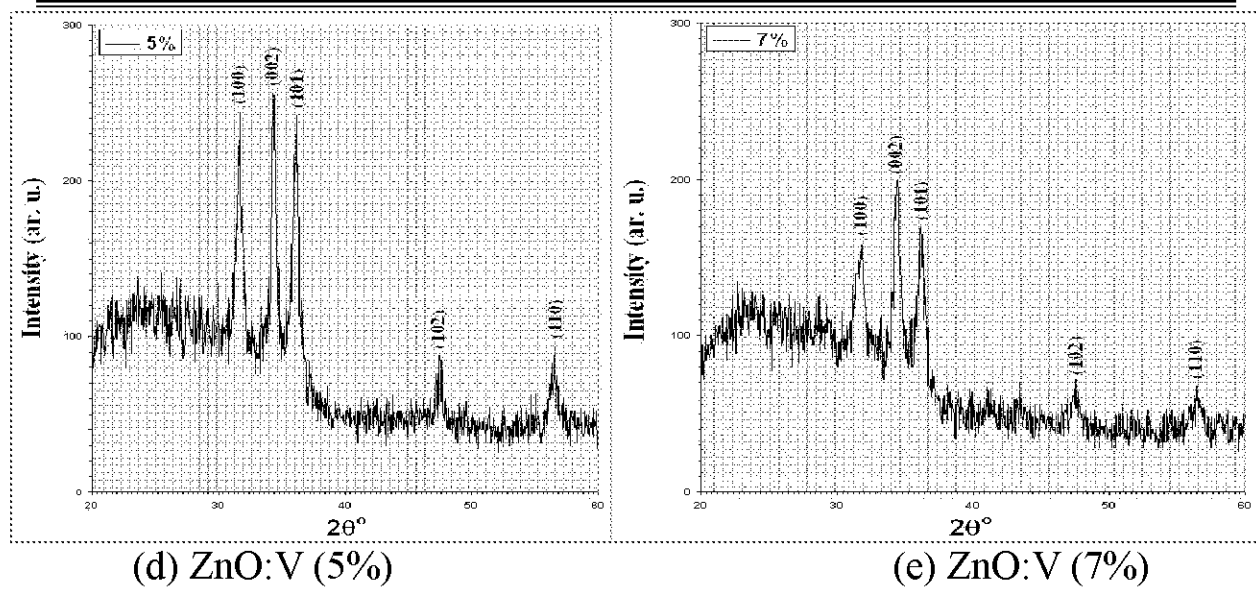
في الاتجاهية لتبولر الأغشية بنموذج البقاء للأسرع (Survival of the fasted) [6] ، إذ يفترض هذا النموذج إن عملية تكون النوى تأخذ عدة اتجاهات في المراحل الأولى من تبولر الغشاء ثم تتبولر النوى ذات النمو الأسرع باتجاه بولي معين أكثر من بقية اتجاهات التبولر للنوى الأخرى ذات النمو الأبطأ.

وأظهرت النتائج أن التركيب البلوري لاغشية أوكسيد الخارصين المحضره يتاثر بعملية التشويب بالفناديوم بشكل واضح مع محافظة كافة الاغشية المشوبة على تركيبيها السادس ، وان كافة الاغشية تمتلك طور تبلور واحد وعدم ظهور طور تبلور آخر في نمط الحيود ولكلها نفس نسب التشويب ، ويتبين من مخططات حيود الاشعة السينية لاغشية أوكسيد الخارصين المشوبة بالفناديوم ($ZnO:V$) ، أن شدة القمم تقل مع زيادة في قيم العرض الكامل عند منتصف الذروة العظمى (FWHM) ولكلها نفس التشويب بالمقارنة مع شكل الحيود لغشاء أوكسيد الخارصين النقي (ZnO)، وهذا يعني إن درجة تبلور اغشية أوكسيد الخارصين تقل مع زيادة نسبة التشويب بالفناديوم وكما مبين في الشكل (1 a,b,c,d,e).



(b) ZnO:V (1%)

(c) ZnO:V (3%)



الشكل (1) : مخططات حيود الأشعة السينية لأغشية أوكسيد الخارصين الغير مشوبة (ZnO) والمشوبة بالفنايديوم (ZnO:V) ولنسبة تشويب مختلفة.

حساب المعلمات التركيبية

1- المسافة بين المستويات البلورية (d_{hkl})

تم حساب المسافة بين المستويات البلورية والتي لها نفس معاملات ميلر (hkl) ولكافأة الأغشية المحضرة باستخدام قانون براك ومن العلاقة [7]:

$$n\lambda = 2d_{hkl} \sin \theta \quad \dots \dots \dots \dots \dots \dots \quad (1)$$

إذ إن:

θ : زاوية سقوط الأشعة السينية.

n : رتبة الحيود.

d_{hkl} : المسافة البينية للمستويات (hkl).

λ : الطول الموجي.

ووجد بأن قيمة (d_{hkl}) متقاربة وتتفق مع القيم القياسية في البطاقة الدولية لمادة (ZnO) (ICDD 36-1451) ، وتكون قيمتها ثابتة تقريباً للأغشية المشوبة وهي أصغر من قيمتها للأغشية غير المشوبة عدا الأغشية المشوبة بالنسبة (3%) فأن قيمتها تكون أكبر.

2- ثوابت الشبكة (c_0, a_0)

تم حساب ثابتي الشبكة (c_0, a_0) لكافأة أغشية أوكسيد الخارصين النقيه (ZnO) والمشوبة بالفنايديوم (ZnO:V) ذات التركيب البلوري من النوع السادس المحكم باستخدام العلاقة [8]:

تأثير التشويب بالفناويوم على الالعماط التربوية وبعض الخواص البصرية للأغشية أو لغير الماء في الماء بالنسبة بالتعامل القيمي لـ *الحراري*
نادر ناصر جباري ، صباح نور سلمان ، فاطمة عصطفى فاطمة

$$\frac{1}{d^2} = \frac{4}{3} \left(\frac{h^2 + hk + k^2}{a_o^2} \right) + \frac{l^2}{c_o^2} \quad \dots \dots \dots (2)$$

إذ إن : hkl تمثل معاملات ميلر.

ووجد أن قيم هذه الثوابت متقاربة وتنتفق مع مثيلاتها في البطاقة الدولية لمادة (ZnO) (ICDD 36-1451) وتكون قيمتها ثابتة تقريراً للأغشية المشوبة وهي أصغر من قيمتها للأغشية غير المشوبة عدا الأغشية المشوبة بالنسبة (3%) فإن قيمتها تكون أكبر.

3 - عامل التشكيل ($Tc(hkl)$)

تم حساب عامل التشكيل باستخدام معادلة (Joseph and Manoj) [9]، والتي تصف الاتجاه السائد لمستوي التبلور (hkl) في الأغشية متعددة التبلور، إذ وجد أن قيم عامل التشكيل لا تقل عن الواحد ولكافحة الأغشية المحضرة.

$$T_{c(hkl)} = \frac{I_{(hkl)}/I_{o(hkl)}}{\frac{1}{M} \sum I_{(hkl)}/I_{o(hkl)}} \quad \dots \dots \dots (3)$$

إذ إن :

$I_{(hkl)}$: الشدة المقاسة.

$I_{o(hkl)}$: الشدة القياسية في البطاقة الدولية (ICDD).

M : تمثل عدد القمم في نمط حيود الأشعة السينية.

4 - معدل الحجم الحبيبي للبلورات (Dav)

تم حساب معدل الحجم الحبيبي للأغشية المحضرة لأعلى قمة (002) ولكافحة نسب التشويب عدا نسبة التشويب (3%) فقد تم حسابها لقمة (101)، باستخدام علقة شيرر [10]:

$$D_{av} = \frac{0.9\lambda}{B \cos \theta_B} \quad \dots \dots \dots (4)$$

إذ إن :

B : عرض المنحنى لمنتصف القمة (FWHM).

λ : الطول الموجي للأشعة السينية الساقطة.

θ_B : زاوية برانك.

تأثير التشويب بالفنانيون على العلماء التربوية وبعض المؤلفين البصرية للأغشية أو تهديد المارسين المحضر بالتحول التعليمي العربي ناور فاضل حبشي ، صباح أنور سليمان ، كلية مصطفى كاظم

إذ وجد أن قيمة الحجم الحبيبي لlaguine المشوبة تقل مع زيادة نسب التشويب بالفناديوم بالمقارنة مع قيمتها للأغشية غير المشوبة نتيجة ازدياد حدود الحبيبات بفعل إحلال أيونات الفناديوم محل أيونات الخارصين في شبكة أوكسيد الخارصين.

المطابقة الميكروية (S)

تم حساب المطابقة المايكروية ولكلفة الأغشية المحضرة باستخدام العلاقة [11]:

از آن:

C_o : قيمة ثابت الشبكة (C_o) في البطاقة القياسية (ICDD).

$C_{o(XRD)}$: القيمة المحسوبة لثابت الشبكية (C_0).

ووجد أن قيم المطاوعة المايكروية أصغر من قيمتها للأغشية غير المشوبة عدا الأغشية المشوبة بالنسبة (3%) لأن قيمتها تكون أكبر.

6 - كثافة الاتخالاعات (٨)

تم حساب كثافة الانخلاءات ولكلفة الأغشية المحضره باستخدام العلاقة [12]:

ووجد بأن كثافة الانحلالات تزداد مع زيادة نسب التشويب لأن كثافة الانحلالات تناسب عكسياً مع مربع معدل الحجم الحراري.

7 - عدد البلورات لوحدة المساحة (N_0)

تم حساب عدد البالورات لوحدة المساحة ولكلفة الاغشية المحضرة من المعادلة [13]:

إذ إن : t تمثل سماك الغشاء الرقيق.

إذ وجد أن عدد البليورات لوحدة المساحة يزداد مع زيادة نسبة التشويب بالفناديوم وذلك لأن عدد البليورات لوحدة المساحة يتضاعف، عكساً مما يحصل في الحجم الحراري.

والجدوال (1)، (2)، (3) توضح قيم كافة المعلمات التركيبية المحسوبة ولكلفة الأغشية المخصوصة.

الجدول (1) : قيم ثوابت الشبكة (a_0 , c_0) لlagشية المحضر مع قيم المسافات البينية ومعاملات ميل للمستويات البلورية التي حسبت بدلاتها هذه القيم بالمقارنة مع القيم القياسية في بطاقة (ZnO).

Sample	a_0 (Å)	c_0 (Å)	d (Å)	hkl
ZnO (ICDD)	3.2498	5.2066	2.8143	100
			2.6030	002
ZnO (Pure)	3.2645	5.2237	2.8271	100
			2.6118	002
ZnO:V (1%)	3.2535	5.2070	2.8176	100
			2.6035	002
ZnO:V (3%)	3.3059	5.2324	2.8630	100
			2.6406	101
ZnO:V (5%)	3.2614	5.2140	2.8245	100
			2.6070	002
ZnO:V(7%)	3.2611	5.2070	2.8242	100
			2.6035	002

الجدول (2) : قيم (معدل الحجم الحبيبي ، عامل التشكيل ، زوايا حيود براك ، العرض الكامل لقمم الحيود عند منتصف الشدة) ولكلفة الأغشية المحضر .

Sample	θ (degree)	B=FWHM (radian)	D_{av} (nm)	Tc(hkl)	hkl
ZnO (Pure)	17.15	0.0046	31	2.55	002
ZnO:V (1%)	17.20	0.0055	26	1.90	002
ZnO:V (3%)	17.84	0.0096	15	1.10	101
ZnO:V (5%)	17.18	0.0082	17	1.79	002
ZnO:V (7%)	17.20	0.0111	13	2.10	002

الجدول (3) : قيم (المطاوعة المايكروية ، كثافة الانخلاءات ، عدد البلورات لوحدة المساحة لكافة الاغشية المحضره .

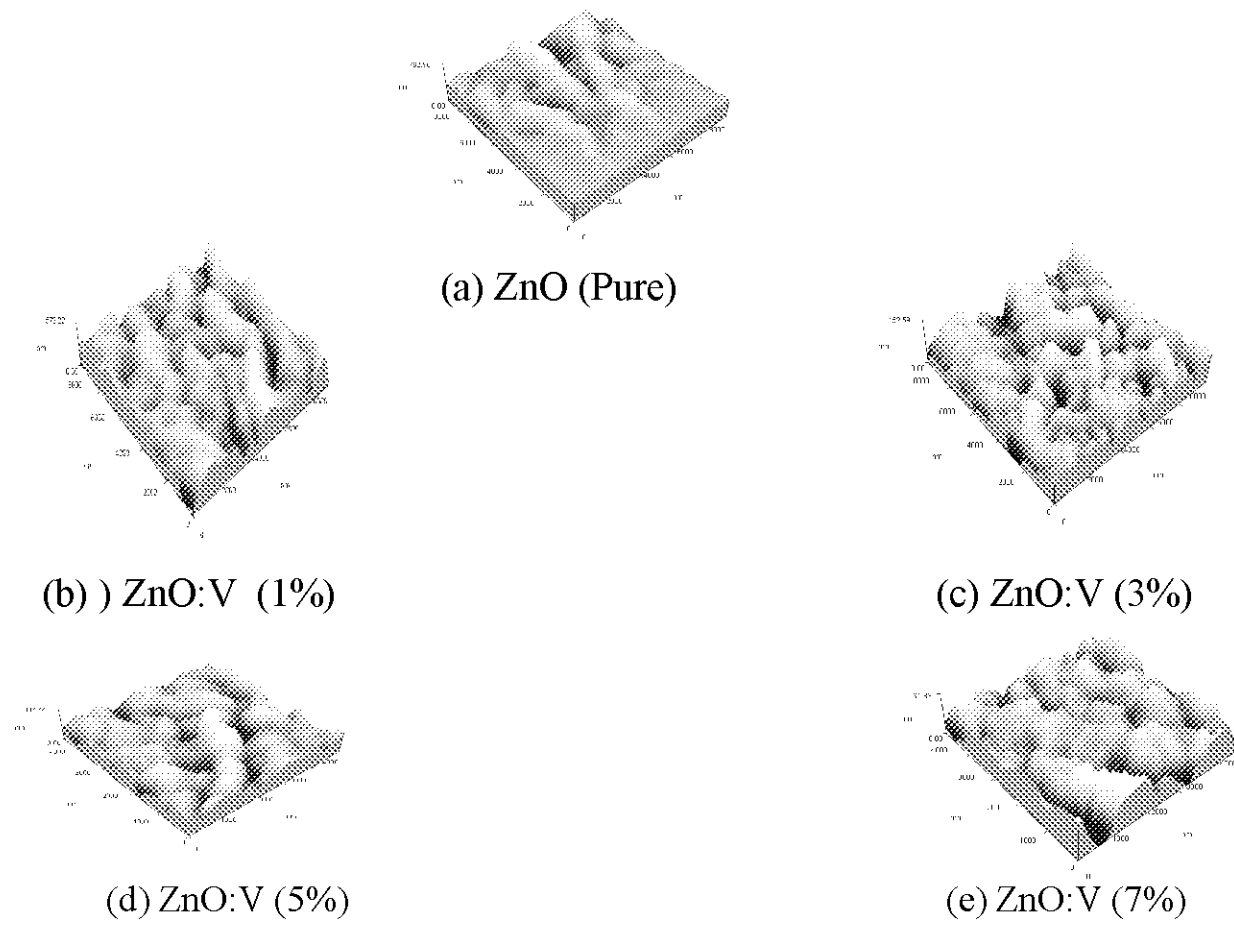
Sample	المطاوعة المايكروية (S)	كثافة الانخلاءات ($\delta \times 10^{11} / \text{cm}^2$)	عدد البلورات لوحدة المساحة ($No \times 10^{12} / \text{cm}^2$)
ZnO (Pure)	0.32	1.04	1.51
ZnO:V (1%)	0.0076	1.47	2.56
ZnO:V (3%)	0.49	4.44	10.33
ZnO:V (5%)	0.14	3.46	9.15
ZnO:V (7%)	0.0076	5.91	20.48

◀ نتائج فحص (AFM)

بيّنت صور ونتائج (AFM) أن عملية التشويب بالفناديوم لاغشية أوكسيد الخارصين تؤثر على معلمات أسطح الاغشية المحضره بشكل واضح ، إذ يتضح من عملية المسح ($10 \times 10 \mu\text{m}^2$) لتركيب سطوح الاغشية المشوبه بالفناديوم (ZnO:V) ولكلفة نسب التشويب بان حبيبات السطوح تكون أكثر تجانسا مع نقصان في قيم خشونتها (Roughness) اعتمادا على قيم الجذر التربيعي لمربع متوسط الخشونة (RMS) بالمقارنة مع تركيب السطوح لاغشية أوكسيد الخارصين غير المشوبه (ZnO) ، وكما مبين في الشكل (2). وهذا يدل على نقصان في قيم معدل الحجم الحبيبي لتركيب سطوح أغشية أوكسيد الخارصين المحضره مع زيادة نسب التشويب بالفناديوم ، وتنقق هذه النتائج مع دراسة الباحثين [14,15] ، وان قياسات معدلات الحجم الحبيبي وتركيب الأغشية المحضره بواسطة مجهر القوة الذرية (AFM) قد جاءت متوافقة مع نتائج الفحص بـ تقنية حيود الأشعة السينية.

الجدول (4) : قيم معدل خشونة السطوح وقيم (RMS) لكافة الأغشية المحضره والمقاسة بـ تقنية (AFM).

Sample	Surface roughness (nm)	RMS (nm)
ZnO (Pure)	53.2	73.6
ZnO:V (1%)	25.4	31.9
ZnO:V (3%)	20.1	25.5
ZnO:V (5%)	12.3	15.9
ZnO:V (7%)	7.61	9.93



الشكل (2) : صور تراكيب السطوح لاغشية أوكسيد الخارصين النقيه (ZnO) والمشوبهه بالفناديوم ($ZnO:V$) ولنسب تشويه مختلفة وحسب قياس (AFM).

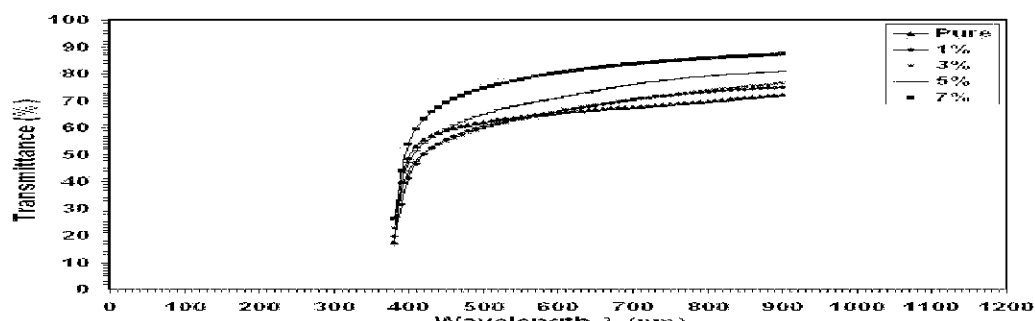
٢- نتائج الفحوصات البصرية

النهاية ◀

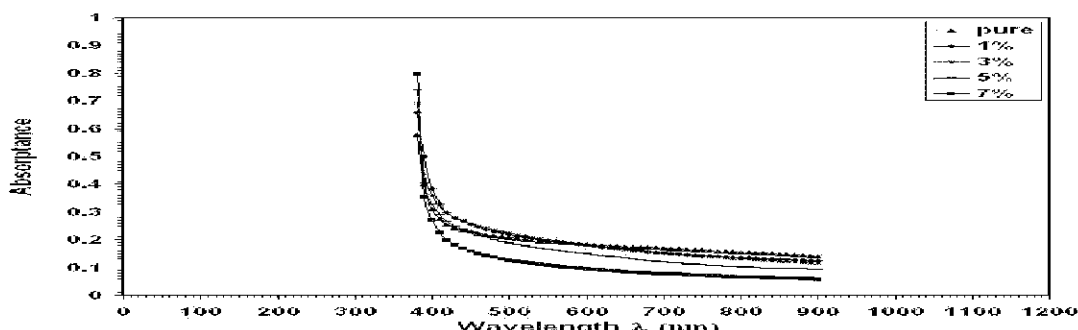
بيّنت القياسات البصرية أن كافة الأغشية تمتلك نفاذية عالية في المنطقتين المرئية وفوق البنفسجية القريبة تصل إلى (80%) ، ويتبّع من الشكل (3) ان نفاذية كافة الأغشية تزداد مع زيادة الطول الموجي ولكلّفة الأغشية المحضرّة ، أمّا في حالة التشويب بالفناديلوم فأنّ نفاذية الأغشية المشوّبة بالنسب (1,3,5%) تقلّ بنسّبة قليلة في المنطقة المرئية ثم تزداد في المنطقة تحت الحمراء القريبة بالمقارنة مع نفاذية الأغشية غير المشوّبة ، عدا الأغشية ذات نسبّة التشويب (7%) فأنّ النفاذية تكون أكبر من نفاذية الأغشية غير المشوّبة في المنطقتين المرئية وتحت الحمراء القريبة ، إذ تعتمد الزيادة والنقصان في نفاذية الأغشية على التشوّهات الشبكيّة ومرآكز الاستطارة وطاقة الفوتون الساقط.

الامتصاصية ◀

يتضح من خلال منحني طيف الامتصاصية الشكل (4) ، أن الامتصاصية تقل مع زيادة الطول الموجي للأغشية أوكسيد الخارصين غير المشوبة ، أما الزيادة المفاجئة في قيم الامتصاصية عند الطاقات العالية تعزى إلى عمليات الامتصاص الأساسية الناشئة عن انتقال الالكترونات من حزمة التكافؤ إلى حزمة التوصيل ، وان عملية التشويب بالفنايديوم أدت إلى نقصان في قيم الامتصاصية بنسبة قليلة في المنطقة تحت الحمراء القريبة ولكافحة نسب التشويب ثم تزداد في المنطقة المرئية مع زيادة نسب التشويب للأغشية المشوبة بالنسبة (1,3,5%) ، ويعزى ذلك إلى نشوء مستويات مانحة تعود لشوائب الفنايديوم داخل فجوة الطاقة وبالقرب من حزمة التوصيل تعمل على تقليل فجوة الطاقة للأغشية المشوبة مما يؤدي إلى انحراف حافة الامتصاص نحو الطاقات الفوتونية الواطئة مما يزيد من امتصاصية المادة في المنطقة المرئية ، أما بالنسبة لحالة التشويب (7%) فأأن الامتصاصية تقل في المنطقتين تحت الحمراء والمرئية مما يؤدي إلى انحراف حافة الامتصاص نحو الاطوال الموجية القصيرة بسبب زيادة فجوة الطاقة البصرية ، وان زيادة فجوة الطاقة بسبب النقصان بالحجم الحبيبي في أشباه الموصلات يعزى إلى إزاحة بورشتاين-موس (Burstein-Moss Shift) [7].



الشكل (3) : النافية كدالة للطول الموجي ولكافحة الأغشية المحضرة.



الشكل (4) : الامتصاصية كدالة للطول الموجي ولكافحة الأغشية المحضرة.

الاستنتاجات

- إن عملية التشويب بالفناديوم وبالنسبة الحالية للأغشية أوكسيد الخارصين أدت إلى تقليل تبلور الأغشية مع المحافظة على التركيب السادس المحكم ولكلفة نسب التشويب.
- عملية التشويب بنسبة واطئة بالفناديوم تؤدي إلى الحصول على تراكيب عالية الجودة لسطح أغشية أوكسيد الخارصين حسب قياسات (AFM).
- بما إن النفاذية في المنطقة المرئية تكون ثابتة تقريباً ، لذا فإن الأغشية المحضره تصلح لاستخدامها كنافذه بصرية في الخلايا الشمسية.

المصادر

- [1] N. M. Revindra and V. K. Sriva, "Infrared Physics", **22** (1982)81.
- [2] J.B. You, X.W. Zhang, Y.M. Fan, Z.G. Yin, P.F. Cai, and N.F. Chen, "Effects of crystalline quality on the ultraviolet emission and electrical properties of the ZnO films deposited by magnetron sputtering", Applied Surface Science, **255** (2009) 5876.
- [3] W.M. Tsang, F.L. Wong, M.K. Fung, J.C. Chang, C.S. Lee, and S.T. Lee, "Transparent conducting aluminum-doped zinc oxide thin film prepared by sol-gel process followed by laser irradiation treatment", Thin Solid Films, **517** (2008) 891.
- [4] K. Laurent, B.Q. Wang, D.P. Yu, and Y.Leprince-Wang, "Structural and optical properties of electrodeposited ZnO thin films", Thin Solid Films, **517**(2008) 617.
- [5] J. M. Phillips, J. Kwo, G. A. Thomas, S. A. Carter, R. J. Cara, S. Y. Hou, J. J. Krajewski, J. H. Morshlau and R. B. Van Dover, J. Appl. Phys. Lett, **65**(1994)115.
- [6] A. Drift, Philips, "Crystals growth of Zinc Oxide thin films" Res, **22**(1967) 267.
- [7] D. C. Altamirano, G. Torres, R. Castanedo, O. Jimenez, Superficies, **13**(2001) 66.
- [8] P. Mitra , Khan , " Materials Chemistry and Physics ",**98**(2008) 279.
- [9] B. Joseph , P. K. Manoj , V. K. Vaidyan , Bull Mater. Sci., **28** (2005) 487.
- [10] R. M. Jr , D. L. Morel , C. S. Ferekides , "Thin Solid Films",**26** (2005)484.
- [11] T. Obata, K. Komeda, T. Nakao, H. Ue and C.Tatsuyama, Journal Applied Physics , **81**(1997) 199.
- [12] M. G. Sridharan , Sa. K. Narayanclass , D. Mangalaraj and H. Chuel lee, Journal of Optoelectronics and Advanced Materials , **7** (2005) 1483.
- [13] M. Dhanam, R. R. Prabhu and P. K. Manoj, Materials Chemistry and Physics, "Investigations on chemical bath deposited cadmium selenide thin films", **107** (2008) 289.
- [14] WANG Li-Wei,XU Zheng,MENG Li-Jian,Vasco Teixeira,SONG Shi-Geng,XU xu-Rong,"Influence of concentration of vanadium in zinc oxide on structural and optical properties with lower concentration", CHIN. PHYS. LETT., **26**(2009) 077801.
- [15] Liwei Wang,Fujun Zheng,Zheng Xu,Suling Zhao,Lifang Lu,Xurong,"Effect of substrate temperature and vanadium concentration on optical properties and structure of ZnO:V thin films",Thin Solid Films,**517** (2009)3770.

The Effect of Vanadium Doped on the Structural Parameters and Some Optical Properties of (ZnO)Thin Films Prepared by Chemical Spray

Pyrolysis

Nadir F. Habubi*, Sabah A. Salman**, Kadhem M. Kadhem **

* Al- Mustansiriya University-Education College-Physics Department

** Diyala University-Science College-Physics Department

Abstract

In this research; The effect of vanadium doped ZnO at different ratios (1,3,5,7)% on the structural parameters and some optical properties such as, (Transmittance, Absorptance) has been studied.

These thin films were prepared by the chemical spray pyrolysis and deposited on the glass substrates heated at (450 °C).The study showed that; The addition of vanadium changes the transmittance and absorptance values, also,The structural parameters values are changed for the prepared thin films.